

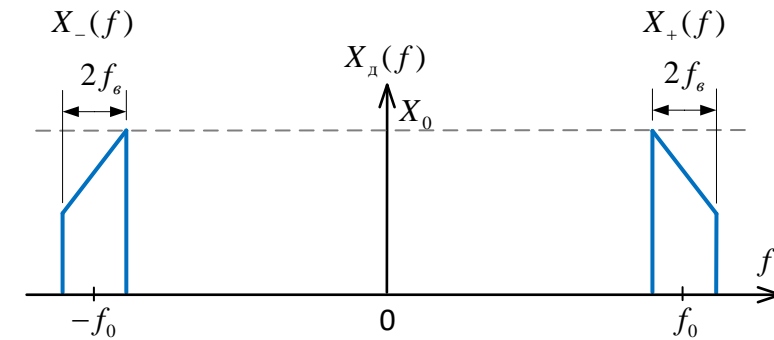
Лекция 10 по курсу «Цифровая обработка сигналов»

7 апреля 2025 г.

7. Методы преобразования узкополосных радиосигналов из аналоговой формы в цифровую.

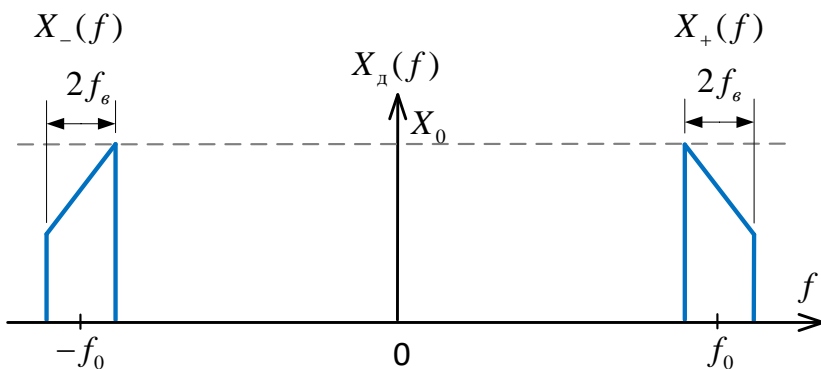
7.1. Квадратурная дискретизация.

Синфазная и квадратурные компоненты сигнала и метод их получения. Комплексная огибающая и ее спектр. Дискретизация квадратурных компонент. Формирование отсчетов квадратур из отсчетов полосового колебания.



7. Методы преобразования узкополосных радиосигналов из аналоговой формы в цифровую.

Рассмотрим *действительный* полосовой сигнал $x(t)$ со спектром, изображенным на рисунке.



- Характерна чётная симметрия амплитудного спектра относительно оси ординат.
- Компонента $X_+(f)$ носит название прямого спектра, а компонента $X_-(f)$ – инверсного.
- Для такого сигнала требуемая в соответствии с теоремой отсчетов частота дискретизации $f_d = 2(f_0 + f_\epsilon)$ может оказаться очень высокой, находящейся за пределами быстродействия АЦП.

- Для узкополосных радиосигналов ($f_0 \gg f_\epsilon$) существуют методы дискретизации с частотой $f_d < 2(f_0 + f_\epsilon)$, позволяющие сохранить информацию, необходимую для восстановления исходного сигнала.

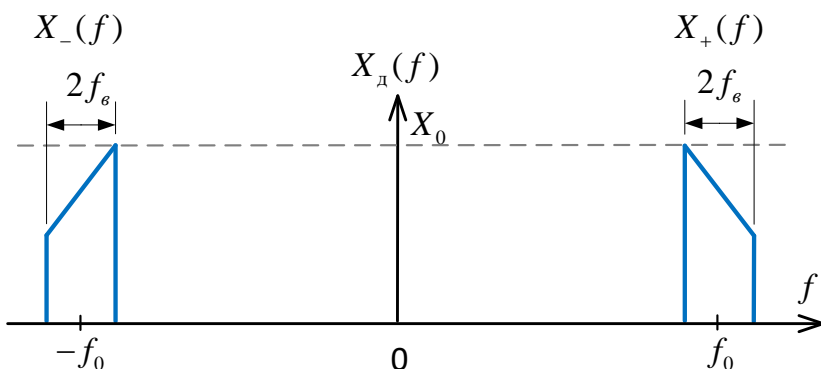
- Примерами таких методов являются
 - квадратурная дискретизация,
 - дискретизация аналитического сигнала,
 - субдискретизация.

Пример. В глобальной системе спутниковой навигации ГЛОНАСС один из сигналов узкополосный и имеет несущую частоту $L1 = 1600$ МГц, аналогичная частота для GPS $L1=1575,42$ МГц.

7.1. Квадратурная дискретизация.

Метод квадратурной дискретизации основан на представлении исходного узкополосного сигнала $x(t)$ с помощью низкочастотных функций $x_c(t)$ и $x_s(t)$ — синфазной и квадратурной компоненты сигнала. В случае $f_0 \gg f_e$, минимальная частота дискретизации этих компонент существенно ниже значения $2(f_0 + f_e)$.

Синфазная и квадратурная компоненты сигнала



Рассмотрим узкополосный радиосигнал $f_0 \gg f_e$, у которого спектр ограничен полосой частот $|f| \in [f_0 - f_e, f_0 + f_e]$, причем $f_0 \gg 2f_e$.

Наиболее общая форма записи такого сигнала

$$x(t) = A(t) \cos(2\pi f_0 t + \varphi(t)), \quad (1)$$

где $A(t)$ и $\varphi(t)$ — медленно меняющиеся по сравнению с циклическим множителем функции времени. Гармонический сигнал (косинусоида с постоянной частотой f_0 и начальной фазой φ_0) подвергается одновременно амплитудной и фазовой модуляции.

Представим сигнал (1) в виде

$$x(t) = x_c(t) \cos(2\pi f_0 t) - x_s(t) \sin(2\pi f_0 t). \quad (2)$$

где $x_c(t)$ — синфазная компонента сигнала,

$$x_c(t) = A(t) \cos \varphi(t), \quad (3)$$

$x_s(t)$ — квадратурная компонента сигнала,

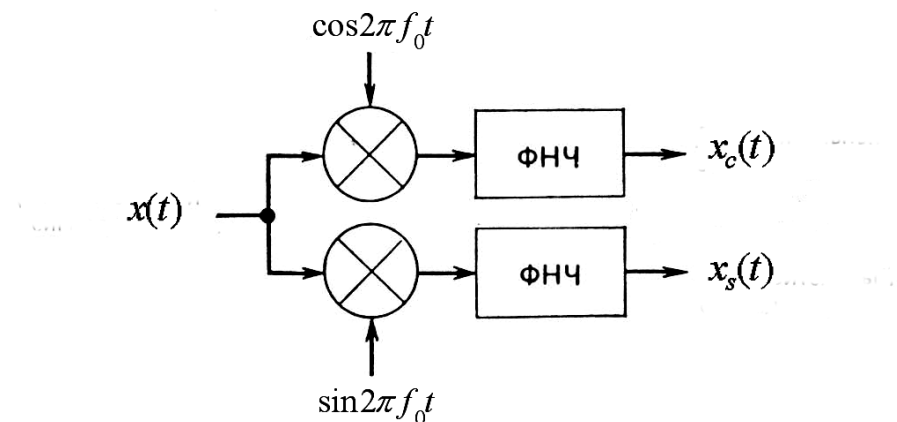
$$x_s(t) = A(t) \sin \varphi(t). \quad (4)$$

Квадратурные составляющие $x_c(t)$ и $x_s(t)$ являются низкочастотными действительными функциями и несут всю информацию о сигнале, кроме несущей частоты f_0 . Спектры этих функций сконцентрированы возле начала координат в полосе $2f_e$. Необходимая частота дискретизации этих компонент $2f_e$.

Квадратурная дискретизация

Метод получения квадратурных компонент сигнала

Квадратурные компоненты могут быть получены в следующей схеме.



После умножения на сигнал когерентного гетеродина в верхнем канале имеем

$$\begin{aligned} x(t) \cos 2\pi f_0 t &= (x_c(t) \cos(2\pi f_0 t) - x_s(t) \sin(2\pi f_0 t)) \cos(2\pi f_0 t) = \\ &= x_c(t) \cos^2(2\pi f_0 t) - x_s(t) \sin(2\pi f_0 t) \cos 2\pi f_0 t = \\ &= \frac{1}{2} x_c(t) \cos(4\pi f_0 t) - \frac{1}{2} x_s(t) \sin(4\pi f_0 t) + \frac{1}{2} x_c(t). \end{aligned}$$

Первые два слагаемых — высокочастотные составляющие вблизи частоты $2f_0$ — подавляются фильтром нижних частот (ФНЧ) и на выходе верхнего канала остается синфазная компонента $x_c(t)$.

Аналогично в нижнем канале выделяется квадратурная компонента $x_s(t)$.

$$\begin{aligned} x(t) \sin 2\pi f_0 t &= (x_c(t) \cos(2\pi f_0 t) - x_s(t) \sin(2\pi f_0 t)) \sin 2\pi f_0 t = \\ &= \frac{1}{2} x_c(t) \sin(4\pi f_0 t) - x_s(t) \sin^2(2\pi f_0 t) = \\ &= \frac{1}{2} x_c(t) \sin(4\pi f_0 t) + \frac{1}{2} x_s(t) \cos(4\pi f_0 t) - \frac{1}{2} x_s(t). \end{aligned}$$

Перенос спектра сигнала $x(t)$ с частоты f_0 на нулевую частоту и традиционно реализуется аналоговым способом, с применением аналоговых умножителей и ФНЧ. Принципиальный недостаток аналоговых способов формирования $x_c(t)$ и $x_s(t)$ — трудность реализации квадратурных каналов с идентичными и стабильными характеристиками. В реальных формирователях квадратур предъявляются очень высокие требования к идентичности, линейности и стабильности амплитудных характеристик каналов, а также к точному соблюдению 90° сдвига фаз между гармоническими колебаниями когерентного гетеродина.

Квадратурная дискретизация

Комплексная огибающая

Амплитудную и фазовую модуляции сигнала $x(t)$ можно определить с помощью квадратурных компонент. По формулам (3) и (4) $x_c(t) = A(t) \cos \varphi(t)$, $x_s(t) = A(t) \sin \varphi(t)$,

$$A(t) = \sqrt{x_c^2(t) + x_s^2(t)}, \quad (5)$$

$$\varphi(t) = \operatorname{arctg} \frac{x_s(t)}{x_c(t)}.$$

Ветвь арктангенса выбирается таким образом, чтобы $\varphi(t)$ была непрерывной функцией времени. Введём комплексную огибающую

$$\gamma(t) = x_c(t) + jx_s(t) = A(t)e^{j\varphi(t)}. \quad (6)$$

Комплексная огибающая $\gamma(t)$ содержит всю обусловленную модуляцией информацию. При этом физическая огибающая равна

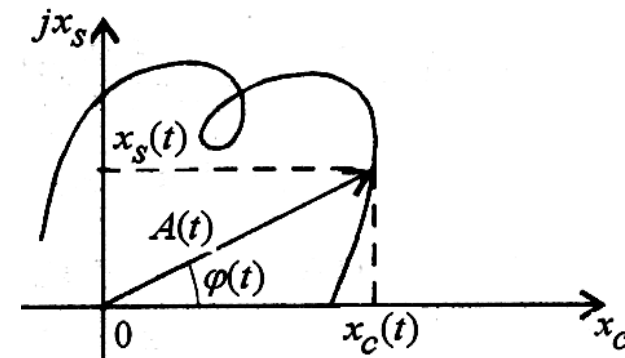
$$A(t) = |\gamma(t)|.$$

Полная фаза узкополосного колебания

$$\psi(t) = 2\pi f_0 t + \varphi(t),$$

а мгновенная частота определяется как производная по времени от полной фазы, нормированная на 2π :

$$f(t) = f_0 + \frac{1}{2\pi} \frac{d\varphi}{dt} = f_0 + \frac{1}{2\pi} \frac{d}{dt} \operatorname{arctg} \frac{x_s}{x_c} = f_0 + \frac{1}{2\pi} \frac{x'_s x_c - x'_c x_s}{x_c^2 + x_s^2}.$$



Комплексную огибающую можно представить на комплексной плоскости вектором, который совершает некоторое сложное движение, изменяясь как по модулю, так и по направлению.

Исходный действительный сигнал $x(t)$ связан с комплексной огибающей $\gamma(t)$ соотношением

$$x(t) = \operatorname{Re}(\gamma(t)e^{j2\pi f_0 t}). \quad (7)$$

Таким образом, понятие комплексной огибающей обобщает понятие комплексной амплитуды на случай узкополосных радиосигналов.

Квадратурная дискретизация

Спектр комплексной огибающей

Рассмотрим спектр $\Gamma(f)$ комплексной огибающей $\gamma(t)$

$$\Gamma(f) = \int_{-\infty}^{\infty} \gamma(t) e^{-j2\pi f t} dt.$$

Поскольку $\gamma(t)$ — комплексный сигнал, то амплитудная и фазовая часть $\Gamma(f)$ могут быть несимметричными относительно нуля частот. Из формул (1) и (6)

$$\gamma(t) = A(t)e^{j\varphi(t)},$$

$$x(t) = A(t)\cos(2\pi f_0 t + \varphi(t)) = \frac{1}{2} A(t) \left(e^{j2\pi f_0 t + j\varphi(t)} + e^{-j2\pi f_0 t - j\varphi(t)} \right).$$

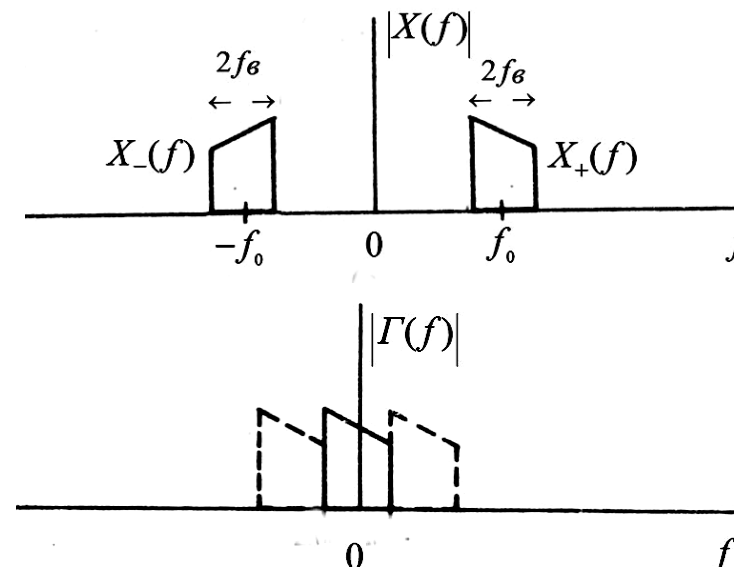
По теореме смещения для преобразования Фурье умножение $\gamma(t)$ на $e^{j2\pi f_0 t}$ означает смещение спектра $\gamma(t)$ вправо на величину f_0 . Получаем, что

$$X(f) = \frac{1}{2} \Gamma(f - f_0) + \frac{1}{2} \Gamma^*(-(f + f_0)). \quad (8)$$

В силу того, что $\Gamma(f)$ лежит в полосе $[-f_\epsilon; f_\epsilon]$, прямой и инверсный спектры

$$X_+(f) = \frac{1}{2} \Gamma(f - f_0), \quad (9)$$

$$X_-(f) = \frac{1}{2} \Gamma^*(-(f + f_0)). \quad (10)$$



Заметим, что при дискретизации $\gamma(t)$ с частотой $2f_\epsilon$ ее спектр повторяется без наложения (повторенный спектр показан штриховой линией). При этом

$$\gamma(t) = x_c(t) + jx_s(t).$$

Квадратурная дискретизация

Дискретизация квадратурных компонент

Поскольку квадратурные компоненты $x_c(t) = A(t)\cos\varphi(t)$ и $x_s(t) = A(t)\sin\varphi(t)$ представляют собой низкочастотные сигналы со спектром, ограниченным полосой $2f_\theta$, то они полностью определяются последовательностями отсчетов $\{x_c(k\Delta t)\}$ и $\{x_s(k\Delta t)\}$, где $\Delta t = 1/2f_\theta$. При этом

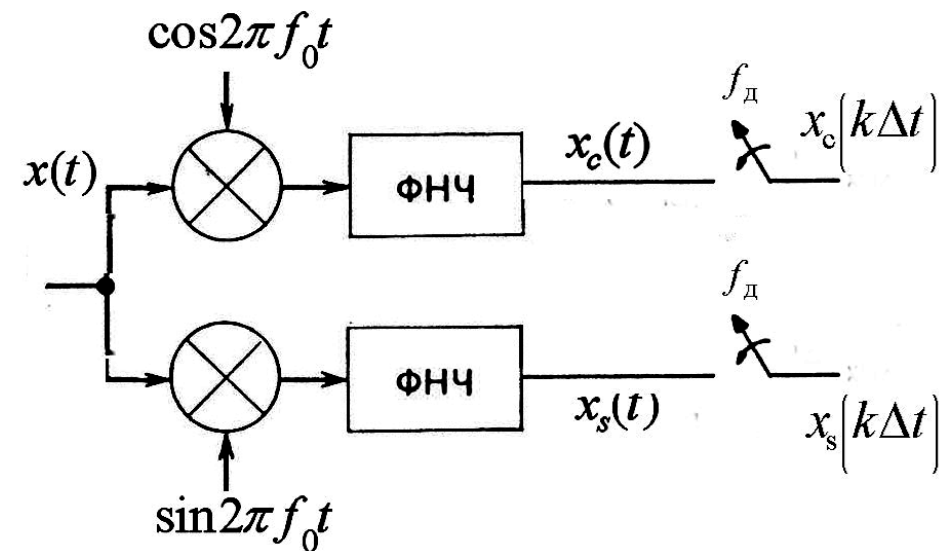
$$\begin{aligned} x(t) = & \sum_{k=-\infty}^{\infty} x_c(k\Delta t) \frac{\sin 2\pi f_\theta (t - k\Delta t)}{2\pi f_\theta (t - k\Delta t)} \cos 2\pi f_0 t - \\ & - \sum_{k=-\infty}^{\infty} x_s(k\Delta t) \frac{\sin 2\pi f_\theta (t - k\Delta t)}{2\pi f_\theta (t - k\Delta t)} \sin 2\pi f_0 t. \end{aligned} \quad (11)$$

Через квадратурные компоненты определяется комплексная огибающая радиосигнала

$$\gamma(t) = x_c(t) + jx_s(t) = A(t)e^{j\varphi(t)}.$$

Эта функция содержит всю обусловленную модуляцией информацию. Таким образом, в этом методе сначала

осуществляется двухканальное синхронное детектирование, а затем дискретизация квадратурных компонент.



Дискретизация квадратурных компонент выполняется с частотой $f_d = 2f_\theta$ отсчетов в секунду. Эта величина значительно меньше частоты $f_d = 2(f_0 + f_\theta)$, необходимой для дискретизации действительного узкополосного сигнала при прямом применении теоремы отсчетов.

Формирование отсчетов квадратур из отсчетов полосового колебания

Наличие быстродействующих АЦП, допускающих работу с частотой дискретизации 500 МГц и выше, делает возможным получить цифровые отсчеты высокочастотных колебаний на выходах многих радиоприемных устройств. Рассмотрим способ формирования отсчетов квадратурных компонент непосредственно из отсчетов колебания $x(t)$. Выберем шаг дискретизации $x(t)$ равным

$$\Delta t = \frac{2n+1}{4f_0} \quad (12)$$

где f_0 – промежуточная частота, n – четное число, $n = 2, 4, 6, \dots$. В соответствии с (12) шаг дискретизации $x(t)$ выбирается нечетно-кратным четверти периода колебания промежуточной частоты f_0 . Выборки можно описать формулой

$$\begin{aligned} x(k\Delta t) &= x_c(k\Delta t)\cos(2\pi f_0 k\Delta t) - x_s(k\Delta t)\sin(2\pi f_0 k\Delta t) = \\ &= x_c(k\Delta t)\cos(\pi k(n+1/2)) - x_s(k\Delta t)\sin(\pi k(n+1/2)). \end{aligned}$$

Для четных k , получаем ($k = 2m$)

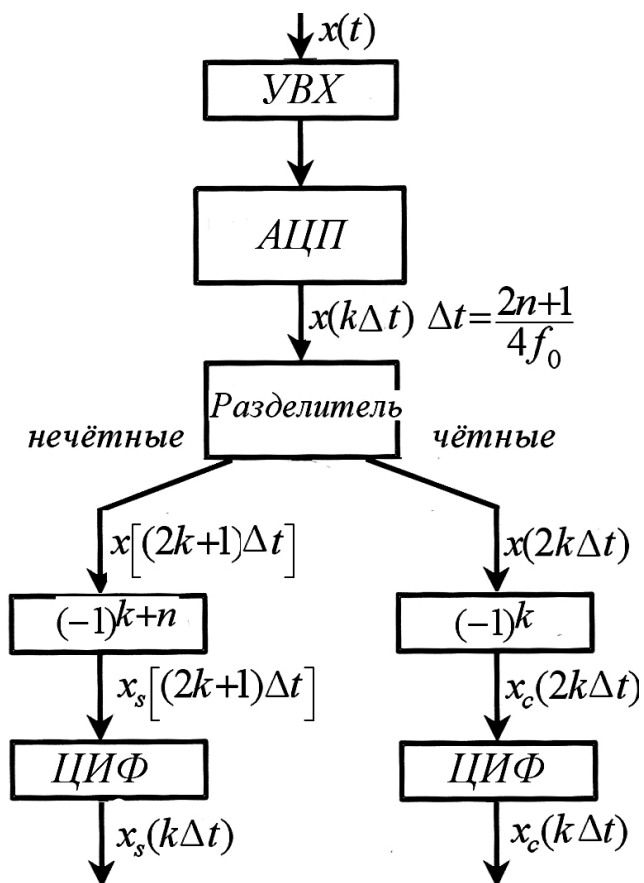
$$\begin{aligned} x(k\Delta t) &= x(2m\Delta t) = \\ &= x_c(2m\Delta t)\cos(\pi 2m(n+1/2)) - x_s(2m\Delta t)\sin(\pi 2m(n+1/2)) = \\ &= x_c(2m\Delta t)\cos(\pi m) - x_s(2m\Delta t)\sin(\pi m) \\ x(2m\Delta t) &= x_c(2m\Delta t)(-1)^m \\ x(k\Delta t) &= x_c(k\Delta t)(-1)^{k/2}, \text{ при четных } k. \end{aligned}$$

Для нечетных k , получаем ($k = 2m+1$)

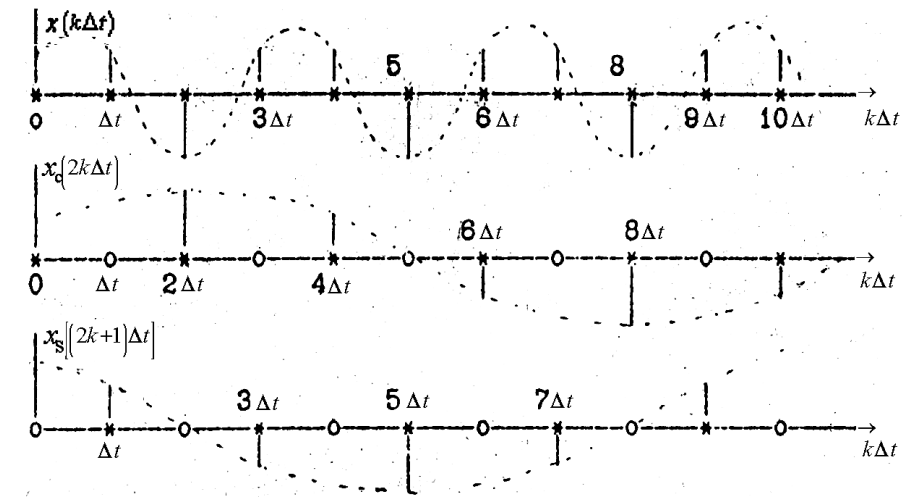
$$\begin{aligned} x(k\Delta t) &= x((2m+1)\Delta t) = \\ &= x_c(k\Delta t)\cos(\pi(2m+1)(n+1/2)) - x_s(k\Delta t)\sin(\pi(2m+1)(n+1/2)) = \\ &= x_c(k\Delta t)\cos\left(2\pi mn + \pi n + \pi m + \frac{\pi}{2}\right) - \\ &\quad - x_s(k\Delta t)\sin\left(2\pi mn + \pi n + \pi m + \frac{\pi}{2}\right) = \\ &= -x_c(k\Delta t)\sin(\pi m) - x_s(k\Delta t)\cos(\pi m) = (-1)^{m+1} x_s((2m+1)\Delta t) \\ x(k\Delta t) &= (-1)^{(k+1)/2} x_s(k\Delta t), \text{ при нечетных } k. \end{aligned}$$

Квадратурная дискретизация

Таким образом, для формирования отсчетов квадратурных компонент достаточно разделить отсчеты сигнала $x(k\Delta t)$ на чётные и нечётные и в полученных подпоследовательностях инвертировать знак каждого второго отсчета.



Функциональная схема, реализующая рассмотренный метод формирования отсчетов квадратур



Узкополосный сигнал $x(t)$ дискретизируется с шагом $\Delta t = (2n+1)/4f_0$ устройством выборки-хранения (УВХ). Отсчёты $x(k\Delta t)$ после квантования в аналого-цифровом преобразователе (АЦП) разделяются на чётные и нечётные. Полученные подпоследовательности после знаковой модуляции поступают на цифровые интерполирующие фильтры (ЦИФ). Один АЦП обслуживает оба квадратурных канала. Для обработки в каждый момент необходимы обе квадратурные компоненты. Недостающие отсчеты квадратур (на рисунке — нули) можно получить путем интерполяции с помощью цифровых интерполирующих фильтров (ЦИФ).

Квадратурная дискретизация

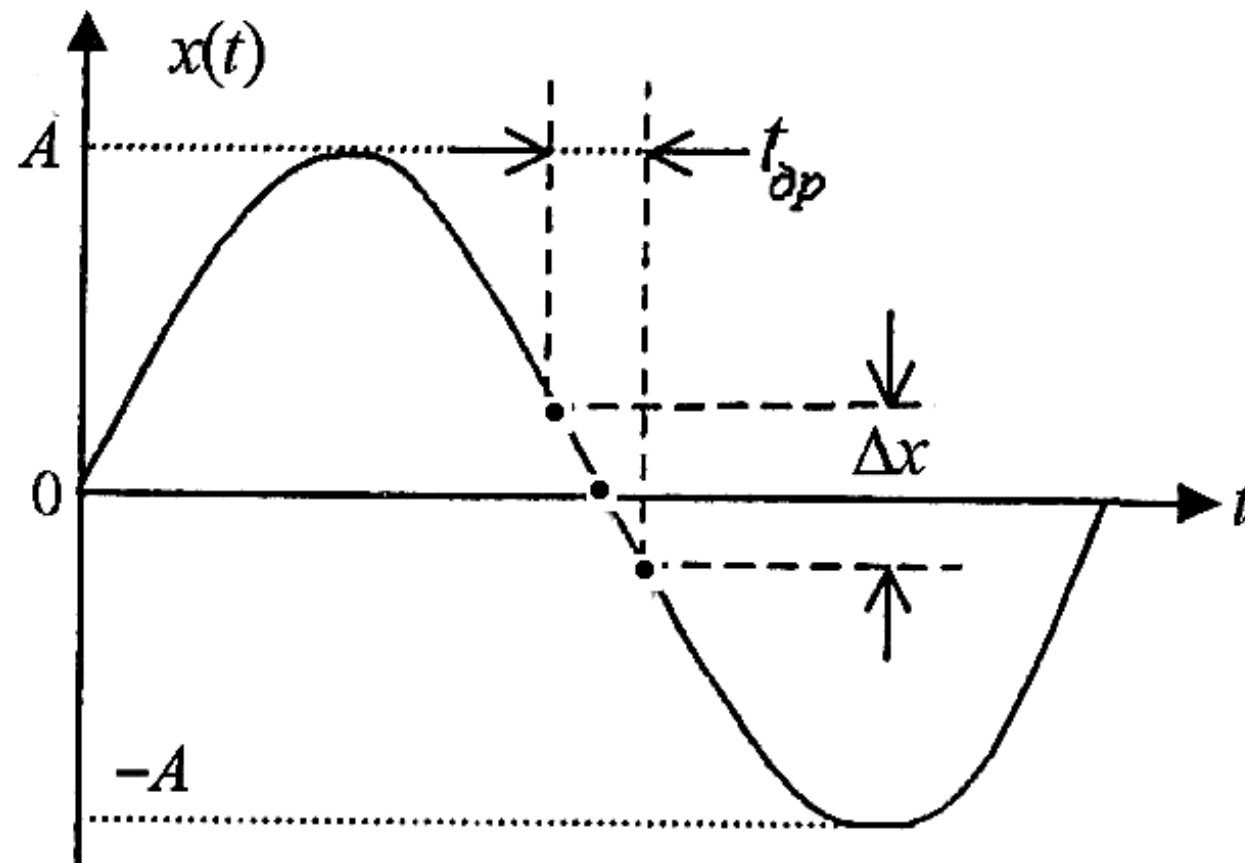
Примечание. Требования к апертурной дрожи моментов выборок в рассматриваемом методе остаются высокими и соответствуют требованиям при дискретизации сигналов с верхней частотой спектра

$$f_{1\epsilon} = f_0 + \frac{\Delta f}{2} \approx f_0.$$

Допустимая величина апертурной дрожи рассчитывается из условия, что изменения самой высокочастотной компоненты входного сигнала за это время не должно превышать единицы младшего разряда АЦП: $x't_{\partial p} < 1/N$. В точке максимальной крутизны $\sin 2\pi f_{1\epsilon} t \approx 2\pi f_{1\epsilon} t$, поэтому

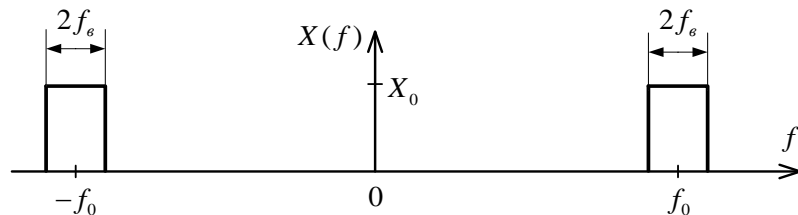
$$t_{\partial p} < \frac{1}{N\pi f_{1\epsilon}},$$

где N – число уровней квантования в АЦП. Максимальная величина шума, обусловленного дрожью моментов выборок, при этом не будет превышать максимальной величины шума квантования.



Квадратурная дискретизация

Пример 1. Спектр $X(f)$ некоторого сигнала $x(t)$ изображен на рисунке ниже (f_0 - несущая частота, $f_0 \gg 2f_\epsilon$).



Определить исходный сигнал $x(t)$ и условие на выбор частоты дискретизации $f_{д1}$ в соответствии с теоремой отсчетов.

Решение.

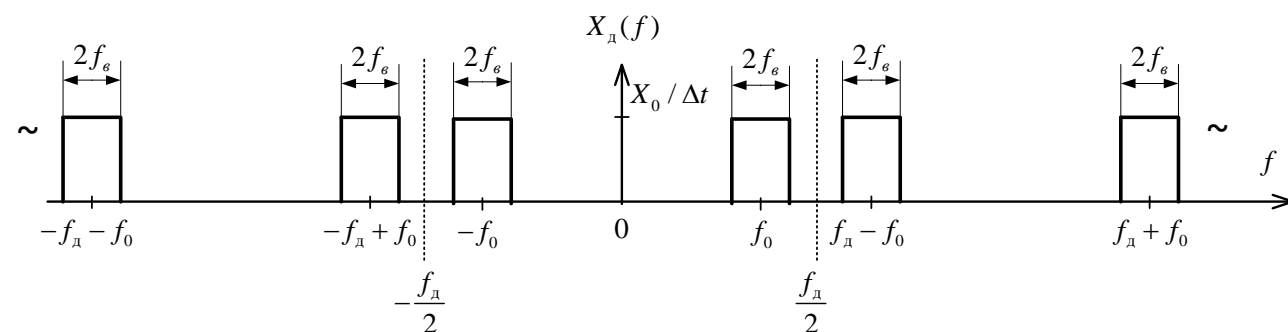
Исходный сигнал можно найти, например, воспользовавшись обратным преобразованием Фурье для его спектра $X(f)$:

$$\begin{aligned} x(t) &= X_0 \int_{-f_0-f_\epsilon}^{-f_0+f_\epsilon} e^{j2\pi ft} df + X_0 \int_{f_0-f_\epsilon}^{f_0+f_\epsilon} e^{j2\pi ft} df = \\ &= \frac{X_0 e^{j2\pi ft}}{2j\pi t} \Big|_{-f_0-f_\epsilon}^{-f_0+f_\epsilon} + \frac{X_0 e^{j2\pi ft}}{2j\pi t} \Big|_{f_0-f_\epsilon}^{f_0+f_\epsilon} = \\ &= \frac{X_0}{\pi t} e^{-j2\pi f_0 t} \sin(2\pi f_\epsilon t) + \frac{X_0}{\pi t} e^{j2\pi f_0 t} \sin(2\pi f_\epsilon t) = \end{aligned}$$

$$= \frac{2X_0}{\pi t} \cos(2\pi f_0 t) \sin(2\pi f_\epsilon t)$$

При дискретизации аналогового сигнала его спектр периодически повторяется вдоль оси частот с периодом, равным частоте дискретизации:

$$X_{д}(f) = \frac{1}{\Delta t} \sum_{n=-\infty}^{\infty} X(f - n f_{д}).$$

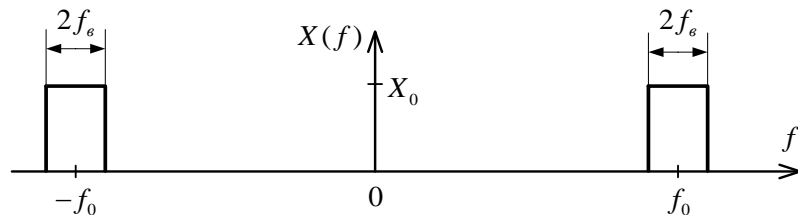


Как видно из рисунка, для того, чтобы эффект наложения спектров не проявился, необходимо, чтобы $\frac{f_{д}}{2} \geq f_0 + f_\epsilon$, а значит $f_{д} \geq 2(f_0 + f_\epsilon)$.

Частота дискретизации должна быть как минимум в два раза больше верхней граничной частоте спектра, которая в данном случае равна $f_0 + f_\epsilon$, что соответствует условию теоремы отсчетов.

Квадратурная дискретизация

Пример 2. Спектр $X(f)$ некоторого сигнала $x(t)$ изображен на рисунке ниже (f_0 - несущая частота, $f_0 \gg 2f_\epsilon$).



Определить синфазную и квадратурную компоненты сигнала и условие на необходимую частоту дискретизации для них $f_{д2}$.

Решение.

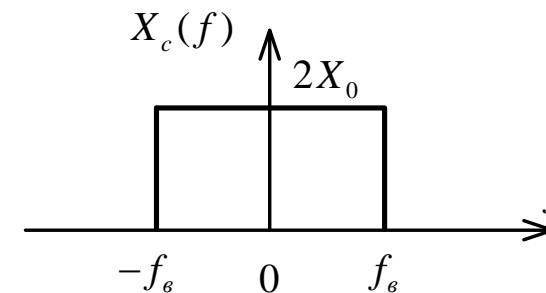
Представим сигнал $x(t) = \frac{2X_0}{\pi t} \cos(2\pi f_0 t) \sin(2\pi f_\epsilon t)$ в виде

$$x(t) = x_c(t) \cos(2\pi f_0 t) - x_s(t) \sin(2\pi f_0 t).$$

где $x_c(t) = A(t) \cos \varphi(t)$ и $x_s(t) = A(t) \sin \varphi(t)$.

Тогда $x_s(t) \equiv 0$, $x_c(t) = \frac{2X_0}{\pi t} \sin(2\pi f_\epsilon t)$.

На рисунке ниже изображен график спектра синфазной компоненты сигнала.



Спектр синфазной и квадратурной компоненты являются низкочастотными по сравнению со спектром исходного узкополосного сигнала. Условие на необходимую частоту дискретизации квадратурных компонент:

$$f_{д2} \geq 2f_\epsilon.$$

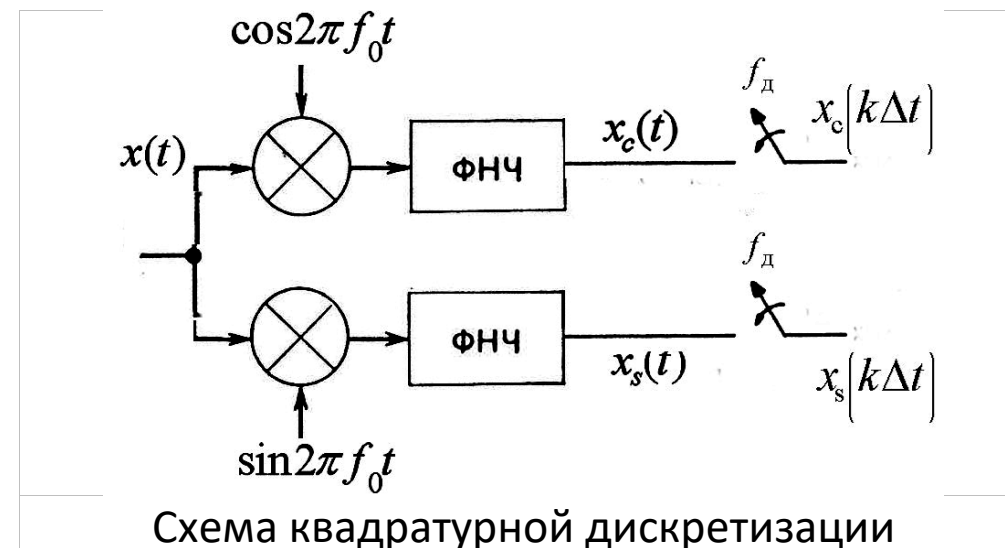
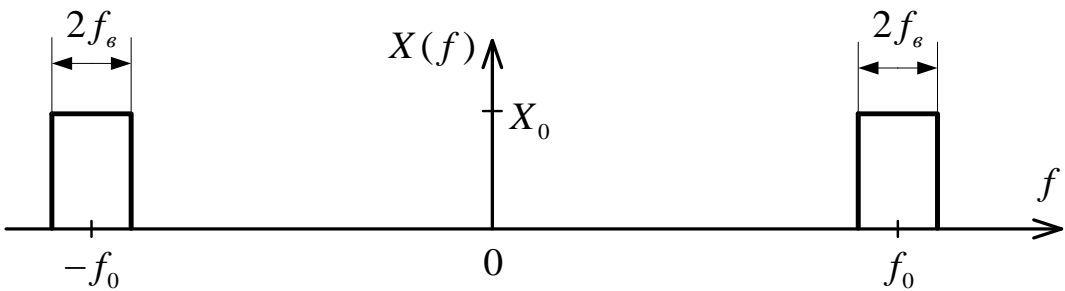


Схема квадратурной дискретизации

Квадратурная дискретизация

Приведем для данного полосового радиосигнала сравнение разных способов дискретизации.

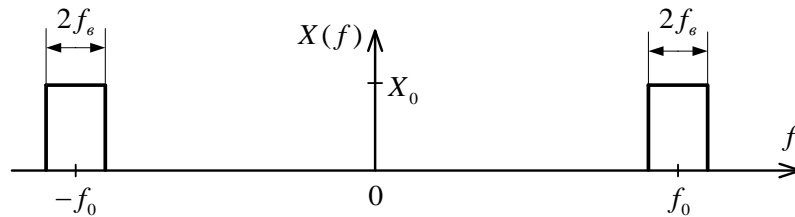
Способ дискретизации	Требования на частоту дискретизации	Чем представим сигнал
взятие отсчетов $x(t)$	$f_{\text{д}} \geq 2(f_0 + f_{\text{с}})$	выборками $x(k\Delta t)$, $\Delta t = 1 / f_{\text{д}}$
дискретизация квадратурных компонент $x_c(t)$ и $x_s(t)$	в данной задаче $f_{\text{д2}} \geq 2f_{\text{с}}$.	выборками $x_c(k\Delta t_2)$ и $x_s(k\Delta t_2)$, $\Delta t = 1 / f_{\text{д2}}$, и несущей частотой f_0



Задача для самостоятельного решения

№1. Для сигнала $x(t) = A \sin(2\pi f_0 t \cdot \operatorname{sgn} t)$ написать выражение для комплексной огибающей.

№2. (на доказательство, без теста в LMS). Спектр $X(f)$ некоторого сигнала $x(t)$ изображен на рисунке ниже (f_0 - несущая частота, $f_0 \gg 2f_g$).



Реализуется дискретизация квадратурных компонент с шагом $\Delta t = \frac{2n+1}{4f_0}$, где n — четное натуральное число.

Доказать для данного примера, что четные отсчеты синфазной $x_c(t)$ компоненты могут быть получены из отсчетов исходного сигнала $x(t)$, взятых с шагом Δt , с изменением знака каждого второго отсчета:

$$x_c(k\Delta t) = x(k\Delta t) \cdot (-1)^{k/2},$$

где k — четные натуральные числа.

Список литературы.

[1] Романюк Ю.А. Основы цифровой обработки сигналов. Учебное пособие. Часть 1. М.: МФТИ, 2007.

2.8 «Дискретизация полосовых радиосигналов».

[2] Баскаков С. И. Радиотехнические цепи и сигналы: учебник для вузов М.: Высшая школа, 2005, 466 с.

5.3 «Узкополосные сигналы», 5.4 «Аналитический сигнал и преобразование Гильберта».

[3] Кестер У. Проектирование систем цифровой и смешанной обработки сигналов. М.: Техносфера. 2010.